УДК 669.295.5:539.62

ПРИРОДА И МЕХАНИЗМЫ АБРАЗИВНОГО ИЗНАШИВАНИЯ МАТЕРИАЛОВ С ПАМЯТЬЮ ФОРМЫ НА ПРИМЕРЕ НИКЕЛИДА ТИТАНА

А.И. Потекаев*, В.А. Хохлов, С.В. Галсанов

Томский государственный университет *Сибирский физико-технический институт им. акад. В.Д. Кузнецова, г. Томск E-mail: potekaev@spti.tsu.ru

На основе рассмотрения схемы движения с трением индентора, имитирующего абразивное зерно, по поверхности никелида титана, установлено, что при определенных силовых и скоростных режимах доминирующим механизмом абразивного изнашивания является циклическое пластическое деформирование материала и, как следствие, его поверхностное усталостное разрушение. Аномально высокая износостойкость объясняется с позиций прямых и обратных мартенситных превращений, которые подавляют образование на микроуровне повреждений, способствующих микро- и макроразрушениям.

Ключевые слова:

Память формы, никелид титана, абразивное изнашивание.

Kev words:

Shape memory, titanium nickelide, abrasive wear.

Одним из широко используемых материалов с памятью формы (ПФ) является никелид титана (TiNi), концентрация компонентов которого сосредоточена в узкой области вблизи эквиатомного состава с образованием интерметаллидов [1-10]. Одной из важнейших особенностей материалов с ПФ является изменение фазового состава и, как следствие, - механических свойств в термических и силовых полях. При понижении температуры или приложении нагрузки аустенитная фаза (А) превращается частично или полностью в мартенситную фазу (М). Таким образом, реализуется прямое мартенситное А -> М превращение. При возврате температуры к исходному значению или прекращении действия нагрузки происходит обратное мартенситное превращение $(M \rightarrow A)$.

Изнашивание, в том числе и абразивное, классических материалов исследовано достаточно детально [11]. В то же время для TiNi сведения по трению и изнашиванию представлены единицами работ [12, 13], а по абразивному изнашиванию исследования отсутствуют вообще. Общеизвестно, что в технологических процессах, таких как шлифование, выглаживание, полирование деталей и образцов, притирка и доводка инструмента, никелид титана обладает аномального высокой износостойкостью по сравнению с обычными материалами. Поэтому изучение сущности и механизмов изнашивания в плане усовершенствования технологических процессов обработки TiNi, оптимизации параметров работающих в абразивных средах элементов соединений является актуальной.

Цель настоящей работы состоит в исследовании природы и механизмов абразивного изнашивания материалов с памятью формы на примере никелида титана.

Как известно, в основе абразивного изнашивания пластичных материалов лежат процессы микрорезания и усталостного разрушения при циклическом движении контртела (индентора, абразив-

ного зерна) по поверхности исследуемого материала. Рассмотрим эти процессы с позиций метода склерометрии (царапания), созданного в свое время для измерения твердости и получившего в дальнейшем распространение для исследования ряда других свойств материалов [14]. При царапании материалов жесткий индентор определенной геометрической формы скользит по поверхности исследуемого образца, пластически деформируя последний или срезая тонкий поверхностный слой. Деформация индентора не учитывается. При этом используются инденторы в виде сферы, конуса, пирамиды.

В случае абразивного изнашивания формы любого царапающего острия можно представить в виде сферических сегментов с радиусами закруглений ρ , значения, которых колеблются в пределах ρ =4...19 мкм — для натуральных, ρ =6...9 мкм — для синтетических алмазов и ρ =4...28 мкм – для корундовых и карборундовых абразивных зерен [11]. При этом углы при вершине острия находятся в пределах 64...100°, 80...90° и 98...110°, соответственно. Заметим, что радиус закругления является очень важной характеристикой индентора, определяющей размеры и форму канавок – дорожек трения, природу их образования, а, следовательно, и триботехнические свойства материалов при одноразовом и многоразовом проходах индентора. Подчеркнем, что величина параметра ρ соизмерима с толщиной удаляемого слоя при скольжении индентора.

Дорожка трения в зависимости от скорости, давления на острие, свойств материала, его способности к деформационному упрочнению и адгезионному взаимодействию, температуры и других факторов может быть получена в результате действия ряда факторов:

пластического деформирования и оттеснения материала по бокам и впереди индентора с образованием навалов (рис. 1, a);

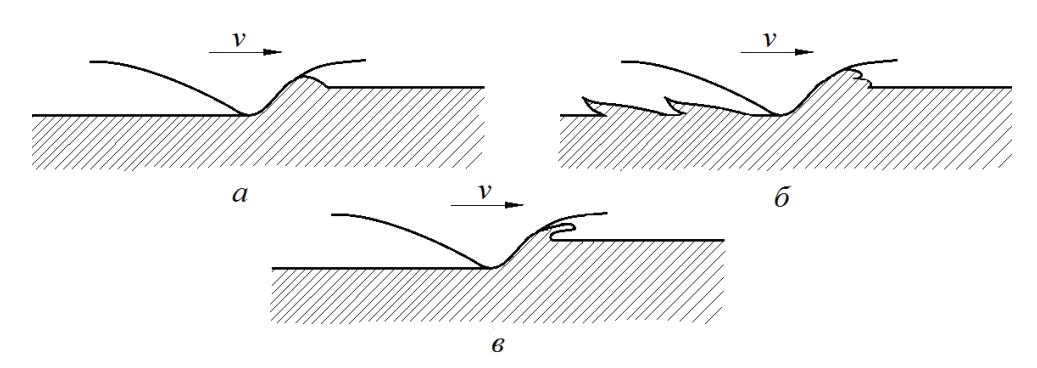


Рис. 1. Схемы образования дорожек трения: а) пластическое выдавливание, б) пластическое выдавливание с адгезией, в) микрорезание

- пластического циклического деформирования материала в области острия и усталостного разрушения тонких поверхностных слоев;
- пластического деформирования с адгезией (рис. $1, \delta$);
- пластического деформирования с микрорезанием и элементами адгезионного взаимодействия:
- микрорезания (рис. 1, *в*);
- хрупкого разрушения без пластического деформирования с отделением микростружки.

Для пластичных материалов, в том числе и никелида титана, очевидна реализация первых пяти факторов, из которых наибольшее влияние оказывают пластическая одноразовая или циклическая деформация и микрорезание. Следует особо отметить, что природа проявления этих факторов различна. Рассмотрим образование царапины или дорожки трения на примере схемы [11], необходимой для выявления условий перехода от пластического деформирования к резанию. Положим, что к острию 1 (рис. 2) приложены силы: нормальная (придавливающая) \bar{P}_{v} и тангенциальная (сдвигающая) Р. При движении индентора возникает сила трения T', для преодоления которой должна быть приложена внешняя сила. Эта сила Tдолжна быть равной по величине силе N, нормальной к линии действия сил T и T' (рис. 2) и являющейся равнодействующей приложенных к острию сил.

При достижении величины P_{a} значения, при котором происходит сдвиг, острие получит перемещение вдоль поверхности материала, т. е. возникнет царапающий эффект. Перемещаясь, острие будет деформировать материал, вызывая впереди и по бокам навалы, или срезая микростружку (микрорезание). При этом передний угол γ_0 острия имеет отрицательные значения, а угол резания у превышает 90° . На рис. 2 величина h определяет толщину среза (глубину царапины); h_0 — толщина срезаемого слоя в точке k; v – скорость движения индентора. При $h_0 \rightarrow h$ имеем $\gamma_0 \rightarrow 90^\circ$, а $\gamma \rightarrow 180^\circ$. Увеличение углов γ_0 и γ повышает сопротивление резанию и благоприятствует пластическому деформированию. Сила P_{ν} вызывает лишь смятие поверхностных слоев и не оказывает влияния на стружкообразование. Если $h \le \rho$, то величина

угла γ полностью зависит от отношения h/ρ , определяющего, следовательно, степень деформации в рассматриваемой точке.

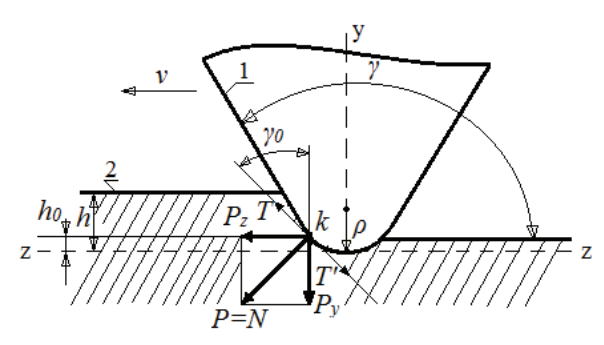


Рис. 2. Схема движения индентора

В процессе воздействия царапающего острия на пластичный материал изменение Р, существенно изменяет процесс царапания. При малых величинах P_{ν} реализуется только скольжение, при больших P_{ν} – выдавливание материала, а при дальнейшем увеличении P_{ν} — срезание в виде микростружки. За критерии перехода от пластического деформирования к микрорезанию можно принять отношение h/ρ . В соответствии с [11] допускаются граничные значения $h/\rho \approx 0.5...0.6$ (передний угол равен 45...50°). При этих значениях h/ρ и γ_0 наряду с пластической деформацией проявляются элементы резания, особенно при высоких скоростях ν . Меньшие значения отношения h/ρ сопровождаются увеличением у и повышенными пластическими деформациями вплоть до перехода к скольжению. Большие значения h/ρ приводят к доминированию стружкообразования. При $h/\rho=1$ peaлизуется полное микрорезание.

Работа проводилась на шариковом трибометре «CSEM INSTRUMENTS», нанотвердомере Nano Hardness Tester, трибометре — склерометре TC-1, трёхмерном профилографе MICRO MEASURE 3D station «Still».

В качестве инденторов были выбраны сфера с ρ =1 мм и алмазный конус с углом при вершине 90° и радиусом ρ =15 мкм, отвечающий среднестатистическим значениям используемых на практике абразивных и алмазных зерен. Прижимающая на-

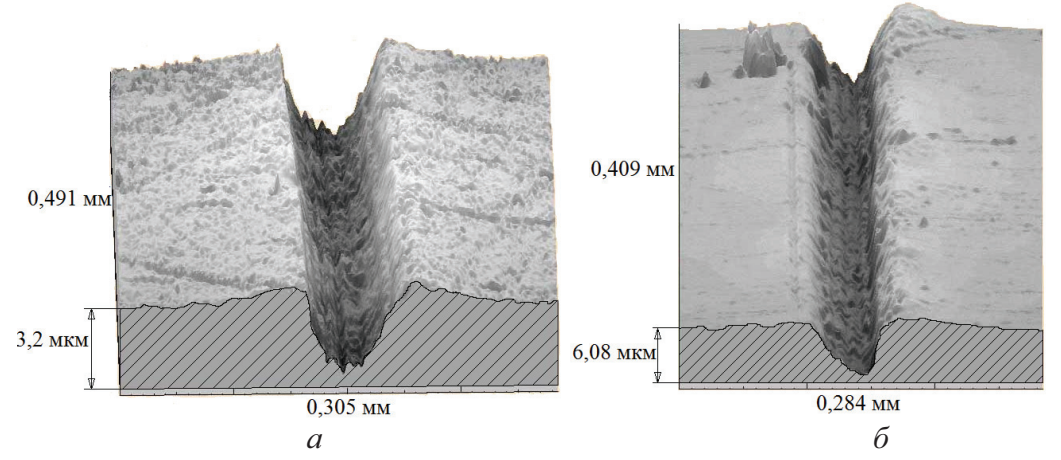


Рис. 3. Вид поверхности трения: a) сферический индентор, б) алмазный индентор. $P_v = 5 \text{ H}$

грузка P_{y} выбиралась в пределах 5...40 Н (верхний предел ограничивался устойчивостью процесса трения). Скорость принималась v=0,1 м/с при одноразовом и v=0,5 м/с — при многоразовых циклических проходах. Исследуемый материал — сплав ТН-1К (Ti_{50} Ni_{47,5}Fe_{2,5}). Общий вид дорожек трения показан на рис. 3.

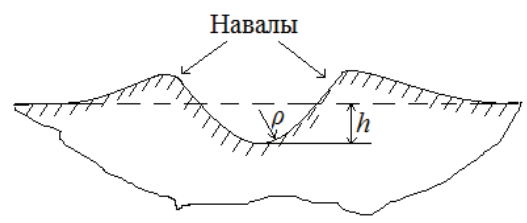


Рис. 4. Схематичное изображение поперечного сечения

Вес удаленного в навалы и срезанного материала (рис. 4) определялись следующим образом [15]. Пусть S_1 и S_2 — площади навалов и канавки; S — общая площадь канавки с навалами; Q_n и Q_c — веса удаленного и вытесненного материала; Q — общий вес перемещенного материала; γ^* — удельный вес сплава; I — длина канавки.

Тогда

$$Q_{\parallel} = S_1 l \gamma^*$$
 и $Q = S l \gamma^*$.

Следовательно

$$Q_{c} = Q - Q_{u} = (S - S_{1}) l \gamma^{*} = S_{2} l \gamma^{*}.$$

За критерий интенсивности изнашивания принималось отношение $Q_{\sigma}/Q=S_2/S$, которое показывает вес удаленного из канавки материала относительно общего веса перемещенного материала. Если проход многократный, то Q_c и S_2 содержат вес удаленного материала не только за счет микрорезания, но и в результате его усталостного разрушения.

На рис. 5 приведены зависимости Q/Q от глубины канавки для нагрузок P_y =5...40 Н. Кривая 1 соответствует алмазному, а 2 — сферическому инденторам. Для сравнения приведена зависимость Q/Q-h для стали Ct2 (линия 3) при v=0,1...1,0 м/с [14].

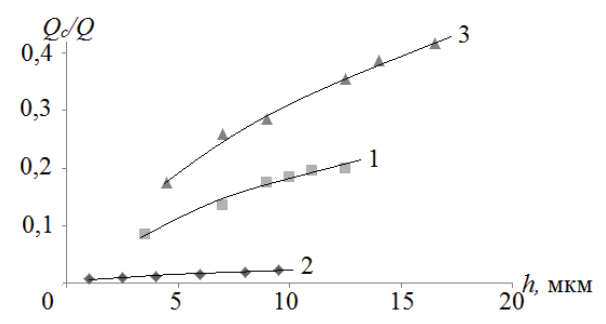


Рис. 5. Зависимости веса удаленного из канавки материала от ее глубины. Кривые: 1) сплав ТН-1К, алмазный индентор, 2) сплав ТН-1К, сферический стальной индентор, 3) сталь Ст2, алмазный индентор

Несложно увидеть, что в никелиде титана при малых нагрузках P_{ν} и небольшой глубине h основной вклад в формирование канавки вносит пластическое оттеснение материала в навалы. Это согласуется с величиной отношения $h/\rho < 0.5$, при котором микрорезание отсутствует. Под действием алмазного и сферического инденторов наблюдается некоторое увеличение Q_0/Q при возрастании P_{ν} и h, связанное с усталостным разрушением поверхностей трения. Доля микрорезания, очевидно, незначительна, несмотря на рост отношения h/ρ . Под действием сферического индентора возрастание O/O небольшое, что также согласуется с $h/\rho \le 0.5$. После начального формирования канавки идут процессы циклического скольжения индентора и выглаживания поверхности, при которых микрорезание отсутствует полностью.

Несколько иначе происходит образование канавки на стали (кривая 3, рис. 5). Вклад микрорезания на начальной стадии (малые значения P_y и h) более существенен, а при увеличении нагрузки микрорезание является основным механизмом абразивного изнашивания.

Таким образом, при движении инденторов по поверхности никелида титана образование канавки и износ происходят в основном за счет циклического пластического деформирования мате-

риала, которое вызывает, несомненно, усталостное разрушение. Это разрушение характерно для всех материалов. Однако, в никелиде титана в результате А М превращений усталостные процессы существенно отличны от подобных в материалах, не обладающих ПФ. Данное положение подтверждается рядом работ.

В частности, в работе [16] показано, что накопление различного рода повреждений в процессе механоциклирования, являющихся предвестниками и причиной отделения частиц износа при трении, у материалов с мартенситными превращениями резко подавлено по сравнению с обычными металлами.

В результате этого существенно повышается циклическая долговечность и условный предел усталости даже при интенсивном циклическом воздействии. Например, по данным [17] никелид титана выдерживает 10³ циклов при амплитуде деформации 10 %, в то время как для металлов с дислокационной пластичностью та же долговечность достигается при амплитудах до 1 %. За исключением некоторых различий, все сплавы на основе TiNi в условиях циклического воздействия ведут себя олинаково.

Природа такого аномального поведения материалов с ПФ объясняется тем, что при циклических воздействиях, в том числе и при трении, доминирующими каналами деформации являются геометрически обратимые мартенситные реакции. Движение обратимых носителей может не сопровождаться образованием концентраторов напряжений и зарождением трещин, что повышает усталостную прочность [16]. Кроме того, исследуемый класс материалов способен к аккомодации пластической деформации, которая предотвращает трещинообразование при мартенситных превращениях. В сплавах никелида титана высокая пластичность способствует релаксации напряжений, связанных с переориентацией существующих кристаллов в мартенсите, которая снижает возможность гранично-зеренного растрескивания.

Немаловажную роль в образовании трещин и высоких напряжений на границах зерен играет

упругая анизотропия кристаллов. Так по данным работы [18] в бронзах, у которых коэффициент упругой анизотропии в 7,5 раз выше, чем у TiNi, усталостная прочность намного ниже, чем у никелида титана.

Рассмотрим влияние на износ поверхностных слоев и адгезионного взаимодействия. Литературные данные свидетельствуют о специфическом влиянии и особой роли поверхностных слоев в общих процессах микроскопической деформации и разрушения, в процессах усталости, ползучести, в условиях трения, износа и схватывания металлов. В нашем случае в результате фазовых превращений формируются подповерхностные зоны с мартенситной и смешанной мартенсит-аустенитной фазами, обладающими повышенными прочностными свойствами. Кроме того, образуется особый слой толщиной 10...30 мкм со сложным структурно-фазовым состоянием и прочностными свойствами, отличающимися от свойств исходной и мартенситной фаз. Так на рис. 6 показаны зависимости твердости от глубины h (использовался метод разрезных образцов) [19].

Как видно, поверхностный слой имеет сложные структуру и свойства. Наблюдается на некоторой глубине пиковое значение твердости, намного превышающее этот параметр А и М фаз. Этот слой, характерный для сплавов, претерпевающих термоупругие мартенситные превращения, в настоящее время не идентифицирован по фазовому составу и структуре. Однако по литературным данным [20] и результатам наших работ [19] он представляет ультрамелкозернистую структуру (нано- и субмикрокристалическую), состоящую из А и М фаз.

Проведенные в последнее время исследования [21] показали, что при измельчении зеренной структуры до субмикрокристалической повышается обратимая мартенситная деформация и характеристики прочности (в нашем случае — твердость). При всем этом сохраняется высокая пластичность. Поэтому можно сказать, что при трении сформировавшиеся поверхностные слои благоприятствуют пластической деформации при механоциклировании.

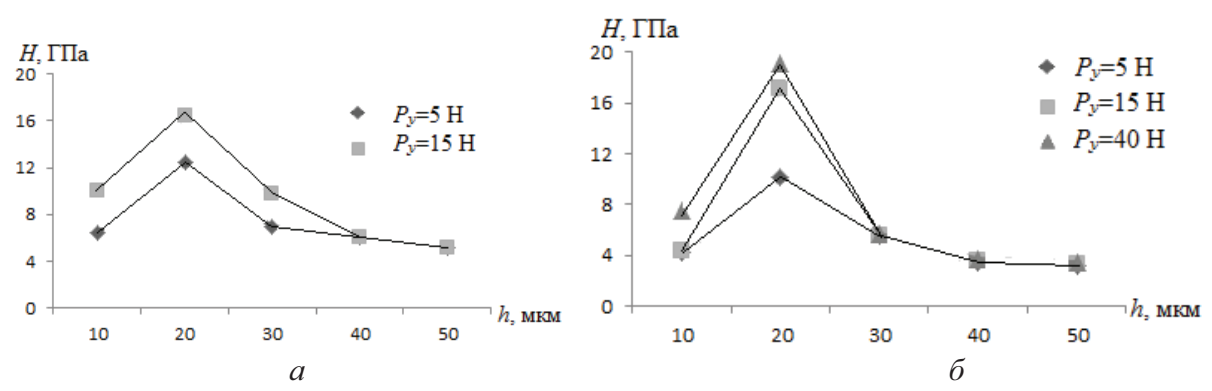


Рис. 6. Зависимость твердости H от расстояния h от границы дорожки трения: a) сферический индентор, ρ =1 мм; б) алмазный конус, ρ =10 мкм

Исследование поверхности трения показало, что определенный вклад в износ вносит и адгезионная составляющая. Так на рис. 3 видны следы вырывания, вызванные схватыванием при однократном движении индентора. При циклическом движении деформационное упрочнение, существенное изменение структуры и свойств препятствуют схватыванию [22]. Поэтому можно считать, что адгезионный механизм изнашивания является вторичным.

Заключение

В результате исследований природы и механизмов абразивного изнашивания материалов с памятью формы показано, что в пределах общепринятых скоростей движения индентора и нагрузок до-

СПИСОК ЛИТЕРАТУРЫ

- Гюнтер В.Э., Итин В.И., Монасевич Л.А., Паскаль Ю.И. Эффекты памяти формы и их применение в медицине. Новосибирск: Наука, 1992. 742 с.
- Потекаев А.И., Клопотов А.А., Потекаев А.И., Козлов Э.В. и др. Кристаллогеометрические и кристаллохимические закономерности образования и тройных соединений на основе титана и никеля / под ред. А.И. Потекаева. – Томск: Изд-во ТПУ, 2011. – 312 с.
- Клопотов А.А., Потекаев А.И., Гюнтер В.Э., Кулагина В.В. Влияние дефектов структуры на структурно-фазовые преврашения в слабоустойчивых состояниях функциональных материалов // Известия вузов. Сер. Черная металлургия. — 2010. — № 10. — С. 61—67.
- Макаров С.В., Плотников В.А., Потекаев А.И. Слабоустойчивые состояния кристаллической решетки алюминия при высокотемпературной деформации и акустическая эмиссия // Известия вузов. Сер. Физика. 2011. Т. 54. № 3. С. 47–55.
- Клопотов А.А., Потекаев А.И., Козлов Э.В. и др. Особенности структурно-фазовых состояний в тройных сплавах Ni₃(Mn, Ti) // Известия вузов. Сер. Физика. — 2010. — Т. 53. — № 1. — С. 65—69.
- Клопотов А.А., Клопотов В.Д., Потекаев А.И. и др. Кристаллогеометрия структур в системах Ti-Ni, Ti-Nb, и Ti-Ni-Nb // Фундаментальные проблемы современной материаловедения. – 2010. – № 3. – С. 83–89.
- Клопотов А.А., Потекаев А.И., Гюнтер В.Э. и др. Влияние фазового наклепа на предмартенситные состояния и на мартенситные превращения в многокомпонентных сплавах Ті (Ni, Co, Mo) с эффектами памяти формы // Материаловедение. — 2010. — № 12 (165). — С. 37–44.
- Понтер В.Э., Потекаев А.И., Клопотов А.А. и др. Асимметрия температурных зависимостей электросопротивления при мартенситных превращениях B2-B19' и B2-R-B19' в сплавах на основе TiNi // Известия вузов. Сер. Физика. 2011. Т. 54. № 5. С. 56–60.
- Потекаев А.И., Кулагина В.В. Структурно-фазовые превращения в слабоустойчивых состояниях конденсированных систем
 // Известия вузов. Сер. Физика. 2011. Т. 54. № 8. —
 С. 5–23.
- Потекаев А.И., Клопотов А.А., Кулагина В.В. и др. Влияние деформации на температурные области мартенситных преврашений в сплавах на основе TiNi // Деформация и разрушение материалов. – 2011. – № 11. – С. 40–43.

минирующим механизмом износа является усталостное разрушение материала при его циклическом деформировании. Повышенная износостойкость с этих позиций и с точки зрения мартенситных превращений является следствием подавления процессов трещинообразования в результате геометрически обратимых мартенситных реакций, аккомодации пластической деформации, а также малого коэффициента анизотропии.

Несмотря на сложный характер свойств формирующихся поверхностных слоев, они сохраняют высокую пластичность, которая способствует повышению циклической прочности. Адгезионное взаимодействие является вторичным механизмом износа.

- 11. Маслов Е.Н. Теория шлифования материалов. М.: Машиностроение, 1974. 320 с.
- Тарасов С.Ю. Исследование триботехнических свойств никелида титана // Перспективные материалы. 1998. № 5. С. 24–30.
- Семида В.В., Полотай В.В., Сорокин С.М., Гончарук Н.В. Триботехнические свойства никелида титана при трении без смазки // Трение и износ. – 1995. – Т. 16. – № 2. – С. 323–326.
- Полосаткин Г.Д., Соломеин И.А. Исследование механизма образования микроцарапины на металлах в диапозоне скоростей от 0,02 до 120 м/с // В сб.: Склерометрия / под ред. М.М. Хрущева. М.: Наука, 1976. 238 с.
- Хохлов В.А., Галсанов С.В. Механизмы абразивного изнашивания материалов с памятью формы на основе никелида титана // Инновационные материалы и технологии в машиностроительном производстве: Докл. Всеросс. научно-техн. конф. Орск, 2011. С. 108—110.
- Лихачев В.А., Кузьмин С.Л., Каменцева З.П. Эффект памяти формы. – Л.: Изд-во ЛГУ, 1987. – 216 с.
- 17. Melton K.N., Mercier O. Fatigue of NiTi thermoelastic martensites // Acta Metallurgica. − 1979. − V. 27. − № 1. − P. 137–144.
- Melton K.N., Mercier O. The effect of martensitic phase transformation on the low cycle fatigue behavior of polucrustalline Ni-Ti and Cu-Zn-Al alloys // Materials Science and Engineering. 1979.

 V. 40. № 1. P. 81–87.
- Хохлов В.А., Закусов А.С., Исаков И.В. Структурно-фазовое состояние и свойства материалов с памятью формы на основе никелида титана в полях остаточных деформаций // Актуальные проблемы современного материаловедения: Труды Всеросс. конф. с элементами научной школы для молодежи. — Томск: Изд-во ТПУ. 2009. — С. 80—84.
- Антонов О.В., Бакач Г.П., Братчиков А.Д., Будовских Е.А. и др. Эволюция структуры и свойства металлических материалов / под общ. ред. А.И. Потекаева. — Томск: Изд-во НТЛ, 2007. — 444 с.
- Хохлов В.А. Кинетическая нанотвердость и свойства пластически деформированного никелида титана // Современные проблемы машиностроения: Труды II Междунар. научно-техн. конф. Томск, 2004. С. 107–110.
- Хохлов В.А. Кинетика предварительного смещения и трения в контакте металлических шероховатых тел в условиях адгезионного взаимодействия // Вестник Томского государственного университета (Бюллетень оперативной научной информации, № 32, апр. 2004). – 2005. – С. 108–112.

Поступила 24.02.2012 г.